

文章编号: 1005-0906(2018)06-0039-06

DOI: 10.13597/j.cnki.maize.science.20180607

MAPK级联在玉米抗病反应和植保素代谢调控中的作用分析

王 畅, 傅竟也, 谌琴琴, 王 强

(四川农业大学生态农业研究所, 成都 611130)

摘要: 利用MAPK级联抑制剂U0126和PD98059特异抑制MAPK信号传递途径后, 使用禾谷镰刀菌侵染或脱落酸(ABA)处理玉米自交系Mo17幼苗, 利用qRT-PCR分析植保素关键基因表达情况, 观察MAPK级联对玉米响应禾谷镰刀菌侵染的情况。结果表明, 抑制MAPK级联后, 玉米叶片对禾谷镰刀菌侵染更加敏感, 发病率显著提高, 禾谷镰刀菌对植保素相关基因 $TPS6$ 、 $An2$ 、 $CYP71Z18$ 、 $KSL5$ 和 $TPS1$ 的诱导受到抑制, 且转录因子 $WRKY79$ 的表达也被抑制, 说明在玉米叶片中植保素的产生受MAPK级联的调控。玉米根系在MAPK级联被抑制后, ABA对这些基因表达的诱导同样受到抑制。说明MAPK级联参与植物抗病反应, 在玉米叶片和根部MAPK级联可能通过调控转录因子 $ZmWRKY79$ 参与对植保素代谢的调控, 为玉米抗病反应机理研究提供理论依据。

关键词: 玉米; MAPK级联; 防御响应; 植保素**中图分类号:** S513.034**文献标识码:** A

Disease-resistant Response of MAPK Cascade and Phytoalexin Metabolism in Maize

WANG Chang, FU Jin-ye, SHEN Qin-qin, WANG Qiang

(Institute of Ecological Agriculture, Sichuan Agricultural University, Chengdu 611130, China)

Abstract: Maize inbred line Mo17 was infected or treated by *Fusarium graminearum* or abscisic acid(ABA) after their leaves and roots were applied by U0126 and PD98059, the inhibitors of mitogen-activated protein kinase (MAPK) cascade. The key genes' expression of maize phytoalexin biosynthesis was analyzed with qRT-PCR, and *F. graminearum* development and infection rate in maize leaves were evaluated. The inhibition of MAPK cascade significantly increased the *F. graminearum* susceptibility of maize and resulted in higher disease incidence, indicating that MAPK cascade positively correlated with the disease resistance. Further, the expression of maize phytoalexin biosynthetic genes was induced by pathogen infection, suggesting that phytoalexin metabolism is related with MAPK cascade in maize leaves. In addition, when MAPK cascade in roots was inhibited by U0126 and PD98059, the induction effect of ABA on phytoalexin related genes was decreased significantly, indicating that MAPK cascade is involved in the phytoalexin accumulation in maize roots. The expression level of *ZmWRKY79*, a transcription factor of maize terpenoid phytoalexins, was also compromised after MAPK cascade was inhibited. So, MAPK cascade positively regulates maize disease defense response, which is realized through regulating the expression of transcription factor *ZmWRKY79*. The result would provide the cue for clarification of MAPK cascade function in maize.

Key words: Maize; MAPK cascade; Defense response; Phytoalexin

录用日期: 2018-03-23

基金项目: 国家自然科学基金(31671708)

作者简介: 王 畅(1994-), 主要从事玉米遗传育种研究。

E-mail: 1297068221@qq.com

王 强为本文通讯作者。E-mail: qwang@sicau.edu.cn

玉米作为世界三大粮食作物之一, 其产量及品质直接影响着社会稳定发展。生物胁迫和非生物胁迫是影响其产量和品质的重要因素。面对各种环境胁迫, 植物进化出了复杂而又精细的抗逆防御机制, 其中植保素是植物受到病原微生物侵染或其他胁迫而产生的小分子抗菌化合物, 研究其代谢调控机制具有重要意义。MAPK级联作为真核生物中普遍存

在的信号传导放大途径,研究其在玉米防御反应中的作用,对玉米栽培、育种等方面具有重要意义。

近年研究发现,玉米中存在两类萜类植保素zealexin^[1]和kaurexin^[2],均具有良好的抗菌活性。禾谷镰刀菌、炭疽菌、黄曲霉菌和小孢根霉等病原菌侵染玉米能显著诱导这两种植保素的积累。这两类植保素的生物合成途径已被部分阐明,它们分别是 β -macrocarpene 和 ent-(iso)kaurene 经过多步氧化生成,其代谢关键基因有TPS6、CYP71Z18^[3,4]和An2、KSL5、TPS1^[5,6],其基因表达变化与植保素的积累具有正相关关系。近期研究还发现,禾谷镰刀菌能诱导玉米转录因子ZmWRKY79基因表达积累,Zm-WRKY79在原生质体中过表达及沉默都能影响到植保素合成相关基因的表达变化,且ZmWRKY79能直接作用TPS6和An2启动子的W-box顺式元件,说明ZmWRKY79在这两类植保素合成调控过程中起到了关键作用^[7]。

近年来一些关于植物胁迫信号的研究发现,可逆的蛋白磷酸化作用在调控植物生理状态和胁迫相关基因的表达上起着至关重要作用^[8,9]。MAPK级联是真核生物中主要的蛋白磷酸化机制。MAPK通路的组成是一种保守的三级激酶模式,包括MAPK激酶(MKKK)、MAPK激酶(MKK)和MAPK,逐步磷酸化,最终活性MAPK具有激活下游转录因子或者其他效应子的能力,从而影响基因表达和代谢变化^[10]。在拟南芥、烟草等模式植物的研究中,MAPK通路可被多种生物胁迫诱导激活。拟南芥MPK3/4/6在体内活性氧平衡、气孔发育、植物激素信号、抵御病毒和抗生物胁迫方面起到了关键性的作用^[11~13]。在玉米中,MPK3在渗透胁迫、盐胁迫、水杨酸(SA)、乙烯(ETH)、过氧化氢(H₂O₂)和脱落酸(ABA)处理下可被诱导积累^[14]。

玉米植保素的生物合成途径已被逐步阐明,其代谢调控机制还不清楚,特别是玉米应对病原菌侵染的抗病反应中玉米植保素代谢如何被调控的研究较少。有研究发现,玉米MAPK与激素信号有相互作用,其是否与病原菌侵染的抗病反应和植保素代谢有关还有待深入研究。本文通过抑制玉米幼苗MAPK通路后,观察禾谷镰刀菌的侵染情况,分析植保素关键基因的表达模式,为阐明MAPK级联对植物抗病反应和植保素代谢的调控机理奠定基础。

1 材料与方法

1.1 供试材料与处理

供试玉米自交系为Mo17。玉米幼苗于28℃、

16 h光照/10 h黑暗培养箱中生长至二叶期。

离体叶片实验,将培养至二叶期的玉米幼苗剪取第二叶中间部分(长度5 cm),在叶脉处用针头点伤,将叶片分别放置于含1 mg/L 6-苄氨基嘌呤(6-BA)的保绿液中,处理组(PD+F.g)保绿液中加入MAPK抑制剂PD98059(100 μmol/L)和U0126(10 μmol/L)^[15],并在点伤处接种禾谷镰刀菌(*Fusarium graminearum*)孢子悬浮液(1×10⁶ cell/mL),每个叶片接种点共3处。对照组(CK+F.g)保绿液中加入等体积溶剂DMSO。接种后,28℃培养观察。在24 h和48 h两个时间点观测发病情况,拍照并使用Image J图像处理软件统计病斑面积并计算发病率,应用Excel软件对数据进行显著性分析。发病率计算方法:

$$\text{发病率} = \frac{\text{病斑面积}}{\text{叶片总面积}} \times 100\%$$

离体叶片中植保素合成关键基因的qRT-PCR检测,玉米材料处理方式与离体叶片发病统计相同,处理组共4组,分别为PD+F.g代表保绿液中含有MAPK通路抑制剂的禾谷镰刀菌侵染叶片;PD+H₂O代表保绿液中含有MAPK通路抑制剂,且用孢子悬浮液等体积水接种的玉米叶片;CK+F.g代表保绿液中未加入抑制剂处理的禾谷镰刀菌侵染叶片;CK+H₂O代表保绿液中未加入抑制剂处理,且用等体积水接种的玉米叶片。侵染处理12 h,滤纸吸干叶片水分与残留悬浮液,液氮速冻后保存于-80℃,留待提取RNA。

玉米根部处理:将二叶期幼苗整株转移至40%霍格兰培养液中生长1 h,加入MAPK抑制剂PD98059(100 μmol/L)和U0126(10 μmol/L)预处理4 h,对照组用40%霍格兰液预处理相等时长,再加入100 μmol/L ABA诱导12 h后,用干净滤纸快速擦干根上水分,取对照组和处理组根部材料,液氮速冻后保存于-80℃,留待提取RNA。共4组处理,分别为无MAPK抑制剂处理下的水和ABA处理及MAPK抑制剂处理下的水和ABA处理。

1.2 植物总RNA的提取及cDNA合成

禾谷镰刀菌和ABA诱导12小时后的玉米叶片和根部采用Trizol方法提取总RNA,总RNA的完整性用1%琼脂糖凝胶电泳检测,质量检测合格的RNA使用宝生物的M-MLV反转录试剂盒按照说明进行反转录合成cDNA。

1.3 植保素关键基因的qRT-PCR分析

为了定量分析玉米植保素关键基因表达情况,使用Oligo7.0软件设计荧光定量PCR特异性引物(表1),确保每对引物Tm值在55℃左右,避免自我互补和3'端重复的G或C,扩增片段大小在80~120 bp。

以不同处理后材料的cDNA作为模版,以玉米*Efla*(NM-001112465)作为内参基因,使用港池生物(杭州)的SYBR GREEN MIX试剂在Bio-Rad CFX96荧光定量PCR仪上进行检测。反应程序为95℃预变

性3 min;95℃变性15 s;55℃退火15 s;72℃延伸20 s,40个循环,每个样品均设有3个重复,采用仪器自带的Bio-Rad CFX Manager软件按 $2^{-\Delta\Delta Ct}$ 法处理数据。应用Origin Graph作图。

表1 荧光定量PCR扩增引物序列
Table 1 The primers used for qRT-PCR analysis

基 因 Gene	上游引物		下游引物 Reverse primer(5'-3')
	Forward primer(5'-3')		
<i>Efla</i>	AGGCTGACTGTGCTGTCCTT		ACGTGCCTGGAGTATTGCG
<i>ZmWRKY79</i>	GACATAGATCTAGACGACATCGC		CGGTACACATACTACGCCACA
<i>An2</i>	GATGATGAGCCATGTCGATG		GAAAGGTCTGCCTTGTCTCG
<i>TPS6</i>	TAATTGTGCCACGAACGGTA		TGCCTCCTGGAGTAGTGCT
<i>CYP71Z18</i>	TGGACAGGAGCCTAAGGATG		ACAGGAGCAAACTGGTCGT
<i>TPS1</i>	CGGTGATCAATGAGCCACTA		TGACAACATGTGCCAACTCC
<i>KSL5</i>	TTCTGGAAAATGTGCAAGGTC		GCTCGTTGATCACTGCATTG

2 结果与分析

2.1 MAPK抑制剂对玉米叶片响应禾谷镰刀菌侵染的影响

为探究MAPK级联在玉米响应病原菌侵染中的作用,MAPK抑制剂被加入到离体叶片保绿液中,并在叶片上接种禾谷镰刀菌孢子,在24和48 h后观察

发病情况。图1表明,侵染12 h后,对照组中禾谷镰刀菌已经侵染叶片并导致病斑的产生。在加入MAPK抑制剂处理后,发病情况明显严重,叶片表面形成更大的病斑。通过对病斑大小的统计,发现抑制剂处理后的玉米叶片发病率显著高于对照。表明MAPK级联被抑制后,玉米叶片抗病能力减弱,说明MAPK级联途径在玉米抗病反应中起正调控作用。

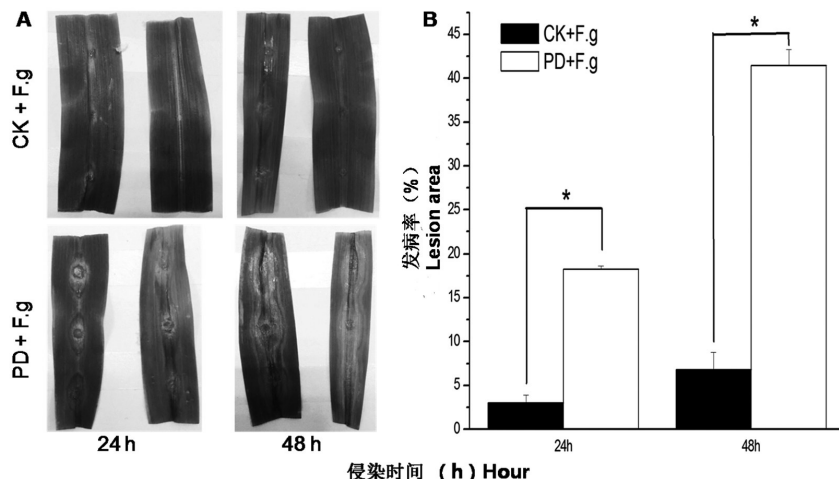


图1 禾谷镰刀菌侵染离体叶片发病情况
Fig.1 The inoculation of *Fusarium graminearum* spores on maize detached leaves

2.2 MAPK抑制剂对玉米转录因子*ZmWRKY79*基因表达的影响

近期研究表明,*ZmWRKY79*参与了玉米植保素zealexin和kaurexin合成调控过程中,且在玉米叶片中,禾谷镰刀菌侵染能够诱导玉米转录因子

*WRKY79*的表达,病原菌侵染12 h后,*ZmWRKY79*的诱导表达依旧显著。在玉米根部,植物激素ABA也能够显著诱导*ZmWRKY79*的表达积累^[7]。本研究通过MAPK抑制剂阻断MAPK信号传导,利用qRT-PCR分别检测经禾谷镰刀菌处理12 h的离体叶片与经

ABA 处理 12 h 的根系中 *ZmWRKY79* 的相对表达量(图2)。结果表明,在玉米离体叶片和根系中,MAPK 级联阻断过后, F.g 和 ABA 诱导 *ZmWRKY79* 积累表

达受到显著抑制。说明在响应胁迫的过程中,*ZmWRKY79* 基因的表达受到 MAPK 级联信号的调控。

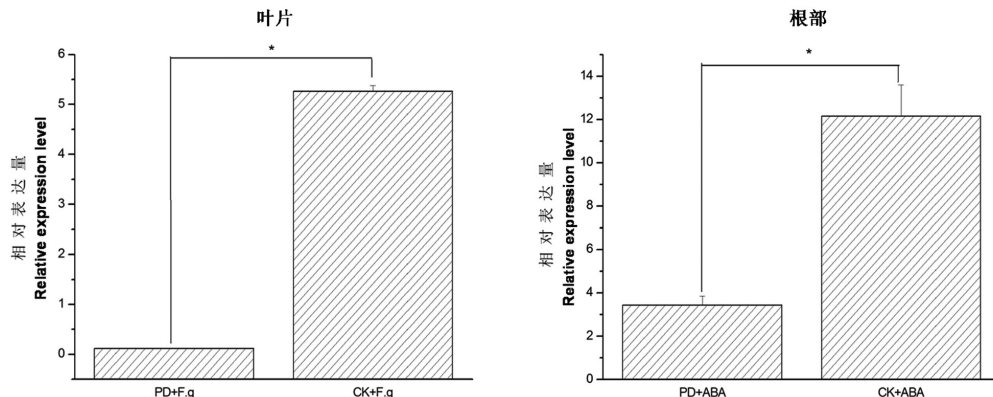
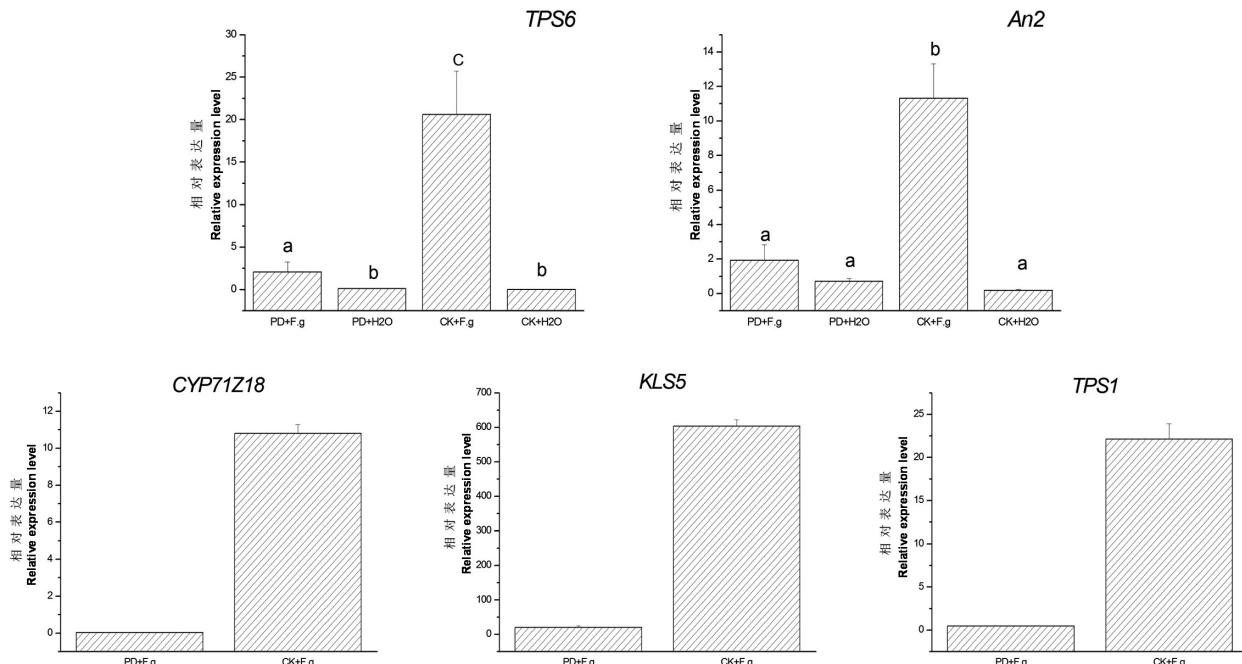


图2 MAPK抑制剂处理后玉米离体叶片及根系 *ZmWRKY79* 表达分析

Fig.2 Expression analysis of *ZmWRKY79* in maize leaves and roots after treated by MAPK cascade inhibitors

2.3 MAPK抑制剂对玉米叶片植保素合成相关基因表达的影响



注:不同字母表示在 $P<0.05$ 水平差异显著。下图同。

Note: Different letters mean significant difference($P<0.05$).

图3 禾谷镰刀菌孢子侵染离体叶片后植保素关键基因的表达分析

Fig.3 Expression analysis of phytoalexin biosynthetic genes in maize detached leaves inoculated with *Fusarium graminearum* spores

前人研究表明,禾谷镰刀菌侵染能够显著诱导玉米植保素的积累,关键基因 *TPS6* 和 *An2* 诱导表达量在 12 h 时达到最高^[1,2],且 *ZmWRKY79* 能直接作用于这两个基因的启动子区域。为了确认是否 MAPK 级联的阻断影响了玉米植保素的合成,对 2.1 中的玉米离体叶片中植保素关键基因的 qRT-PCR 分析显示(图3),对照组中两个关键基因 *TPS6* 和 *An2* 均被禾

谷镰刀菌侵染显著诱导。阻断 MAPK 信号传导后,这两个植保素关键基因 *TPS6* 和 *An2* 的诱导明显下降,表明在玉米叶片中植保素代谢受到 MAPK 级联的调控。为了充分确认 zealexin 和 kauralexin 合成受 MAPK 级联调控,利用 qRT-PCR 检测其他相关合成基因的表达变化,与对照相比,MAPK 通路被抑制后 *CYP71Z18*、*KSL5* 和 *TPS1* 相对表达量明显下降,说

明玉米叶片中植保素的合成受MAPK级联信号的正调控。

2.4 MAPK抑制剂对玉米根部植保素关键基因表达的影响

前人研究表明,玉米植保素也能在根部积累,关键基因 $TPS6$ 和 $An2$ 经ABA诱导12 h后显著上调。本研究在使用MAPK抑制剂预处理后,再用ABA处理玉米根部,通过qRT-PCR分析玉米植保素关键基因的表达。图4表明,在未施加MAPK抑制剂的情

况下,ABA能显著诱导玉米植保素关键基因 $An2$ 和 $TPS6$ 的表达。在MAPK抑制剂处理下,ABA不能诱导 $An2$ 和 $TPS6$ 表达。为了充分证明MAPK在根系中对玉米植保素合成的影响,进一步检测 $CYP71Z18$ 、 $KSL5$ 和 $TPS1$ 的表达情况,MAPK抑制剂处理后,这3个基因并不能诱导表达。以上结果表明,ABA诱导玉米植保素合成依赖于MAPK级联途径。

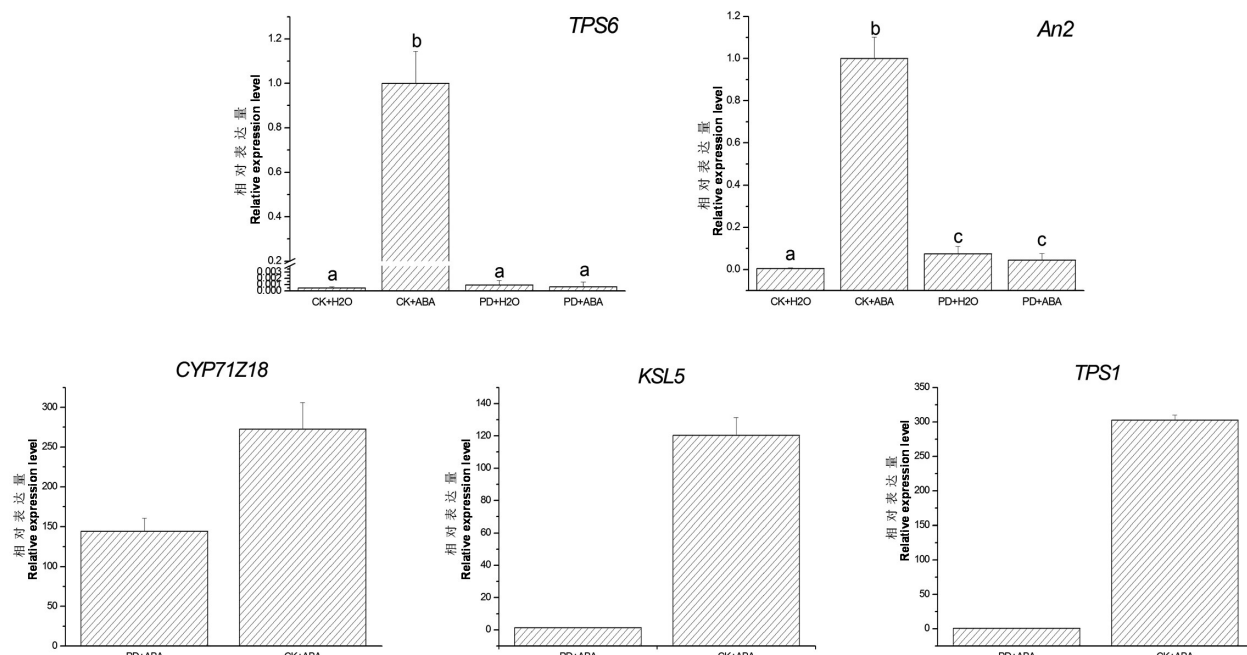


图4 MAPK级联抑制剂与ABA影响玉米根部植保素关键基因表达

Fig.4 The expression of phytoalexin biosynthetic genes in maize roots treated by MAPK cascade inhibitors and sequential ABA

3 结论与讨论

植物的固生性,使其面对着多种多样的生物及非生物胁迫^[16]。在病原菌侵染的过程中,植物产生植保素来参与抗病反应。本研究使用MAPK级联通路的专属抑制剂U0126和PD98059处理玉米幼苗叶片和根系,分别在禾谷镰刀菌侵染和ABA处理下检测玉米植保素代谢调控因子 $ZmWRKY79$,合成相关基因 $TPS6$ 、 $CYP71Z18$ 、 $An2$ 、 $KSL5$ 和 $TPS1$ 的表达变化,探究MAPK在玉米胁迫响应中的作用。

在禾谷镰刀菌侵染后,玉米叶片中zealexin和kaurealexin相关合成基因被明显诱导表达。本研究抑制MAPK级联信号后,玉米叶片对禾谷镰刀菌侵染更加敏感,通过检测转录因子 $ZmWRKY79$,发现 $ZmWRKY79$ 受到MAPK级联的调控,进一步检测植保素合成相关基因的表达变化发现, $TPS6$ 和 $An2$ 等关键合成基因诱导表达也受到抑制,说明MAPK级

联可能通过调控 $ZmWRKY79$ 参与玉米叶片植保素代谢,进而参与玉米叶片抗病反应。

就植物激素与抗病而言,前人研究发现,烟草中的MPK6的活性受到水杨酸(SA)的调节^[17]。拟南芥 $mpk4$ 突变体相比于野生型的SA积累量明显增高,对病原菌的抗性也显著提高^[18]。相比于水杨酸(SA)、茉莉酸(JA)和乙烯(ETH)对植物MAPKs的影响^[19,20],ABA与MAPK通路之间的相互关系研究很少。ABA作为胁迫激素参与植物对外界胁迫的响应过程中,外援施加ABA可明显诱导玉米植保素的积累和其代谢关键基因的表达。有报道称,玉米受到氧化胁迫时,ABA体内积累量直接影响 $ZmMPK5$ 的活性状态^[21]。在本研究中,玉米根系MAPK通路被抑制后,转录因子 $ZmWRKY79$ 、 $TPS6$ 和 $An2$ 等植保素代谢过程中的关键基因表达明显受到抑制,说明在根系响应ABA过程中,MAPK通路作为信号的中间传导者,通过对下游效应子调控^[22],影响转录因

子ZmWRKY79的表达,从而影响TPS6和An2基因表达,进而调控植保素的合成。

本研究在根中观测到MAPK通路和植物激素ABA信号之间存在信号交流,外援施加ABA处理能提高植物对植物病原菌的抗性^[23,24]。相关研究表明,一些病原菌自身能产生ABA进而刺激活性氧的产生,使得植物对病原菌更加敏感^[25,26]。所以ABA信号与MAPK通路的互作在植物抗病反应中的作用需深入研究。

植物的抗逆防御机制复杂而庞大,对外界胁迫的响应有着精细的调控网络。MAPK通路作为高度保守的真核生物信号传导通路,在植物抵御外界胁迫的过程中,从感受外界胁迫信号并转导至下游靶基因的过程中起重要作用。本研究发现,MAPK通路参与到玉米对病原菌的防御响应,并通过对玉米离体叶片和根系植保素调控及合成关键基因的表达分析,发现MAPK级联通路可能是通过转录因子ZmWRKY79调控玉米植保素代谢,为后续阐明MAPK途径在玉米胁迫响应中的调控机理奠定基础。

参考文献:

- [1] Alisa H, Fatma K, Martha M, et al. Novel acidic sesquiterpenoids constitute a dominant class of pathogen-induced phytoalexins in maize[J]. *Plant Physiology*, 2011, 156(4): 2082–1097.
- [2] Eric A S, Fatma K, Alisa H, et al. Identity, regulation and activity of inducible diterpenoid phytoalexins in maize[J]. *PNAS*, 2011, 108(13): 5455–5460.
- [3] Köllner T G, Schnee C, Degenhardt J, et al. Protonation of a neutral (S)-β-bisabolene intermediate is involved in (S)-β-macrocarpene formation by the maize sesquiterpene synthases TPS6 and TPS11[J]. *The Journal of Biological Chemistry*, 2008, 283: 20779–20788.
- [4] Mao H, Peters R J, Wang Q, et al. Characterization of CYP71Z18 indicates a role in maize zealexin biosynthesis[J]. *Phytochemistry*, 2016, 121: 4–10.
- [5] Harris LJ, Saparno A, Peters RJ, et al. The maize An2 gene is induced by Fusarium attack and encodes an ent-copalyl diphosphate synthase[J]. *Plant Molecular Biology*, 2005, 59: 881–894.
- [6] Fu J, Peters R J, Wang Q, et al. A tandem array of ent-Kaurene synthases in maize with roles in gibberellin and more specialized metabolism[J]. *Plant Physiology*, 2016, 170: 742–751.
- [7] Fu J, Liu Q, Wang C, et al. ZmWRKY79 positively regulates maize phytoalexin biosynthetic gene expression and is involved in stress response[J]. *Journal of Experimental Botany*, 2017.
- [8] Xiong L Z, Yang Y N. Disease resistance and abiotic stress tolerance in rice are inversely modulated by an abscisic acid-inducible mitogen-activated protein kinase[J]. *The Plant Cell*, 2003, 15: 745–759.
- [9] Yuasa T, Ichimura K, Mizoguchi T, et al. Oxidative stress activates AtMPK6, an Arabidopsis homologue of MAP kinase[J]. *Plant Cell Physiology*, 2001, 42: 1012–1016.
- [10] Wang P C, Du Y Y, Li Y, et al. Hydrogen peroxide-mediated activation of MAP kinase 6 modulates nitric oxide biosynthesis and signal transduction in *Arabidopsis*[J]. *The Plant Cell*, 2010, 22: 2981–2998.
- [11] Sidonskaya E, Schweighofer A, Shubchynskyy V, et al. Plant resistance against the parasitic nematode *Heterodera schachtii* is mediated by MPK3 and MPK6 kinase, which are controlled by the MAPK phosphatase AP2C1 in *Arabidopsis*[J]. *Journal of Experimental Botany*, 2016, 67(1): 107–118.
- [12] Berriri S, Garcia A V, Frey N F, et al. Constitutively active mitogen-activated protein kinase versions reveal fusions of *Arabidopsis* MPK4 in pathogen defense signaling[J]. *The Plant Cell*, 2012, 24: 4281–4293.
- [13] Li G J, Meng X Z, Wang R G, et al. Dual-level regulation of ACC synthase activity by MPK3/MPK6 cascade and its downstream WRKY transcription factor during ethylene induction in *Arabidopsis*[J]. *Plos Genetic*, 2012, 8(6): 1002767.
- [14] Wang J, Ding H, Zhang A, et al. A novel mitogen-activated protein kinase gene in maize (*Zea mays*), ZmMPK3, is involved in response to diverse environmental cues[J]. *Journal of Integrative Plant Biology*, 2010, 52: 442–452.
- [15] Zhu Y, Liu W J, Sheng Y, et al. ABA affects brassinosteroid-induced antioxidant defense via ZmMAP65-1a in maize plants[J]. *Plant and Cell Physiology*, 2015, 56(7): 1442–1455.
- [16] Latrasse D, Jégu T, Li H CH, et al. MAPK-triggered chromatin reprogramming by histone deacetylase in plant innate immunity[J]. *Genome Biology*, 2017, 18: 131–150.
- [17] Zhang S, Klessig D F. Salicylic acid activates a 48-kD MAP kinase in tobacco [J]. *The Plant Cell*, 1997, 9: 809–824.
- [18] Petersen M, Brodersen P, Naested H, et al. *Arabidopsis* MAP kinase 4 negatively regulates systemic acquired resistance[J]. *Cell*, 2000, 103(7): 1111–20.
- [19] Bari R, Jones J D. Role of plant hormones in plant defence responses[J]. *Plant Molecular Biology*, 2009, 69(4): 473–488.
- [20] Yoo S D, Cho Y H, Tena G, et al. Dual control of nuclear EIN3 by bifurcate MAPK cascades in C2H4 signaling[J]. *Nature*, 2008, 451(7180): 789.
- [21] Schmelz E A, Huffaker A, Sims J W, et al. Biosynthesis, elicitation and roles of monocot terpenoid phytoalexins[J]. *Plant Journal*, 2014, 79(4): 659–78.
- [22] Sukno S A, García V M, Shaw B D, et al. Root infection and systemic colonization of maize by *colletotrichum graminicola*[J]. *Applied & Environmental Microbiology*, 2008, 74(3): 823.
- [23] Ton J, Flors V, Mauchman B. The multifaceted role of ABA in disease resistance[J]. *Trends in Plant Science*, 2009, 14(6): 310–317.
- [24] Mauchman B, Mauch F. The role of abscisic acid in plant-pathogen interactions[J]. *Current Opinion in Plant Biology*, 2005, 8(4): 409–414.
- [25] Balmer D, Papajewski D V D, Planchamp C, et al. Induced resistance in maize is based on organ-specific defence responses[J]. *Plant Journal*, 2013, 74(2): 213–25.
- [26] Bethke G, Unthan T, Uhrig J F, et al. Flg22 regulates the release of an ethylene response factor substrate from MAP kinase 6 in *Arabidopsis thaliana* via ethylene signaling[J]. *PNAS*, 2009, 106(19): 8067–8072.

(责任编辑:姜媛媛)